

# 接岸時船舶の衝撃力について（第2報）

中央大学教授工学部工学博士林泰造  
大成建設KK技術研究部白井増次郎

## 1. 緒言

船舶の接岸時の衝撃力の評価は繊船岸設計上重要な事がらである。前報<sup>1)</sup>においては、これについて、船舶の平面回転、繊船施設（防衝工もふくめて）の変形、および船舶のローリング（ $\xi$  軸まわりの回転）を考慮した理論をたて、またその範囲内でのいろいろな一般図表を作製した。しかし、その際には船舶の仮想質量の影響についての考察を欠いていたので、本報においては、この影響を考慮して前報の理論結果を修正し、またその理論結果を実験により種々検討する。

## 2. 基本方程式

仮想質量を考慮するという点を除いては前報におけると全く同一である。図-1のような座標系をとると、重心の併進運動の方程式、船舶の平面形回転の方程式、およびローリング（ $\xi$  軸まわりの回転）に関する運動の方程式はそれぞれつぎのようになる：

$$\ddot{y} + (c/M_y)y + a\ddot{\theta} + h\ddot{\varphi} = 0 \quad \dots(1)$$

$$\ddot{\theta} - (ca/I_\zeta)\varphi = 0 \quad \dots(2)$$

$$\ddot{\varphi} + (Wk/I_\xi)\zeta - (ch/I_\xi)y = 0 \quad \dots(3)$$

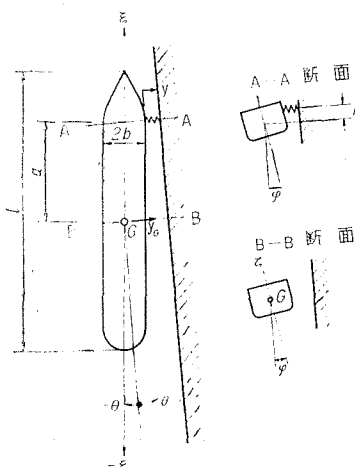
ただし、

$M_y$ ：船舶の質量 + 併進運動の仮想質量 =  $M_0 + M_{y'}$

$c$ ：繊船施設全体（防衝材をふくむ）と船舶の各変形を合わせた合成バネ係数

$I_\xi = M_\xi R^2$ ： $\xi$  軸まわりの船舶（仮想質量をふくむ）

図-1 座標系



## の慣性モーメント

$M_\xi$ ： $\xi$  軸まわりの回転に関係する船舶の質量（仮想質量をふくむ） =  $M_0 + M_{\xi'}$

$R$ ：同上の回転半径

$I_\xi = M_\xi R^2$ ： $\xi$  軸まわりの船舶（仮想質量をふくむ）の慣性モーメント

$M_\xi$ ： $\xi$  軸まわりの回転に関係する船舶の質量（仮想質量をふくむ） =  $M_0 + M_{\xi'}$

$r$ ：同上の慣性半径

$W$ ：船舶の総重量

$k$ ：メタセンター高さ

## 3. 基本方程式の解

つぎの初期条件に対する解を求めるこことにする：

$$(\varphi)_{t=0}=0, (\dot{\varphi})_{t=0}=0, (y)_{t=0}=0, (\dot{y})_{t=0}=v_0 \quad \dots(4)$$

これは船舶が初めはローリングなしに速度  $v_0$  をもって防舷材に当る場合に当る。この場合の（1）、（2）および（3）の解はつぎのようになる：

$$y = \frac{v_0}{\omega_1^2 - \omega_2^2} \left[ \frac{\omega_1^2 - \omega_2^2}{\omega_1} \sin \omega_1 t + \frac{\omega_1^2 - \omega_2^2}{\omega_2} \sin \omega_2 t \right] \quad \dots(4)$$

$$\varphi = \frac{v_0}{r} \frac{h}{r} \frac{\omega_2^2}{\omega_1(\omega_1^2 - \omega_2^2)} \left[ \frac{\omega_1}{\omega_2} \sin \omega_2 t - \sin \omega_1 t \right] \quad \dots(5)$$

ただし、

$$\begin{aligned} \omega_1 &= \frac{1}{\sqrt{2}} \sqrt{\omega_y^2 (1 + \frac{M_y}{M_\xi} \frac{a^2}{R^2} + \frac{M_y}{M_\xi} \frac{h^2}{r^2}) + \omega_\varphi^2} \\ &\pm \sqrt{\omega_y^2 (1 + \frac{M_y}{M_\xi} \frac{a^2}{R^2} + \frac{M_y}{M_\xi} \frac{h^2}{r^2}) + \omega_\varphi^2} \\ &- 4\omega_y^2 (1 + \frac{M_y}{M_\xi} \frac{a^2}{R^2}) \omega_\varphi^2 \quad (\text{複号同順}) \end{aligned} \quad \dots(6)$$

## 4. 平面回転およびローリングによる衝撃減少の割合

$y$  の最大値は（4）において  $dy/dt=0$  を満たす瞬間、すなわち次式を満たす瞬間（それを  $t_m$  とおく）に現われる：

$$(\lambda_1^2 - 1) \cos 2\pi \frac{\lambda_1}{\lambda_2} \frac{t_m}{T_2} = -(1 - \lambda_2^2) \cos 2\pi \frac{t_m}{T_2} \quad \dots(7)$$

ただし、





写真-1 実験設備全景

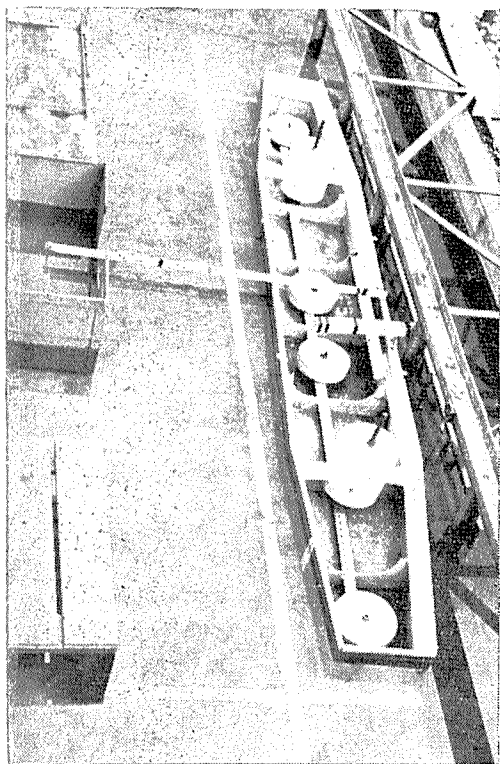
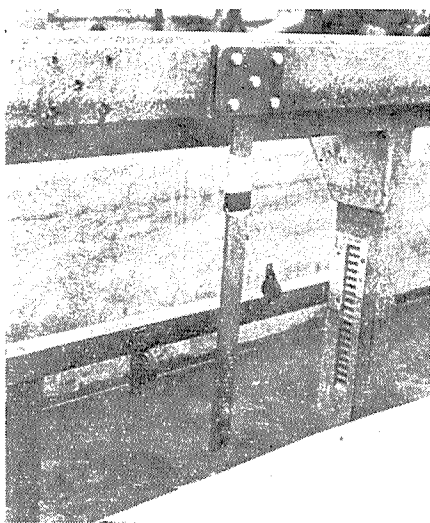


写真-2 繫船施設の弾性に応じた弾性を与えるための片持ばかり形のバネ



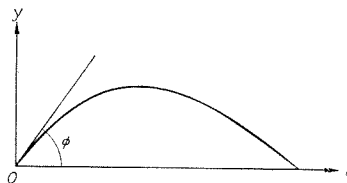
## (4) 接岸力の測定

模型船の接岸力は、防舷材に当てて使用した平鉄片が船舶に接する点の変形量を測定すれば求められる。このために、鉄片根元に抵抗線ひずみ計をとりつけ、その曲げひずみをオシログラフに記録測定する。

## (5) 接岸速度

繫船岸にとりつけた平鉄片の変位をオシログラフ上に記録したもののが  $t=0$  における接線(図-6)のなす角度

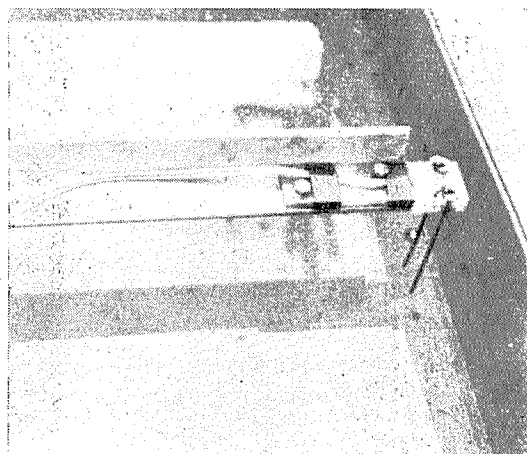
の  $\tan \phi$  をとればこれが接岸速度  $v_0$  を表わすはずであるから、このようにして  $v_0$  を測定算出する。

図-6 接岸速度の算定 ( $v_0 = \tan \phi$ )

## (6) 船舶のローリング

船舶から横方向にはり出した片持ばかりの先端に電気的水位計をつけ(写真-3)，これをオシログラフに電気的に接続してローリングを記録する。

写真-3 ローリング測定のための船からはり出した横バーにとりつけられた電気的水位計



## (7) ローリング拘束の実験とローリング自由の実験

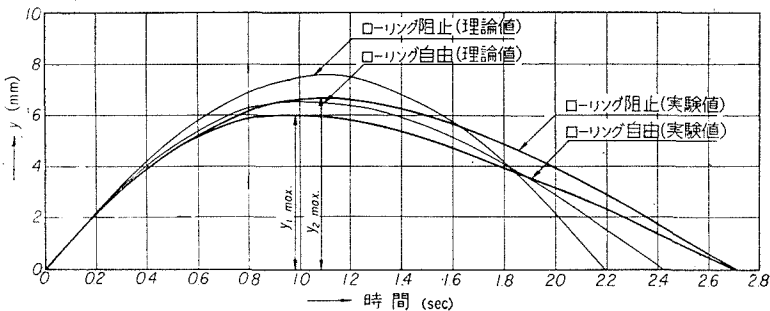
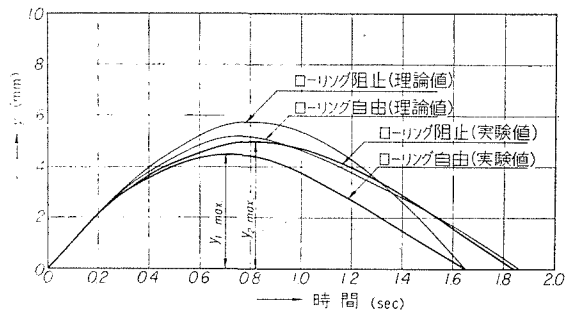
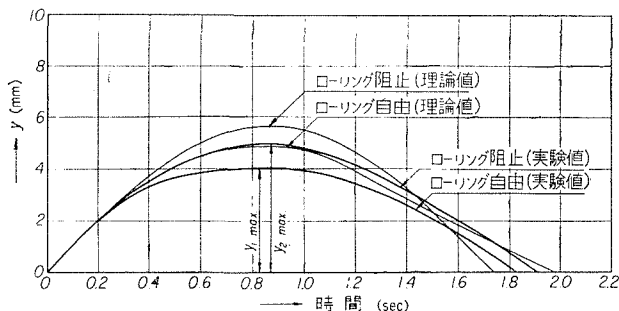
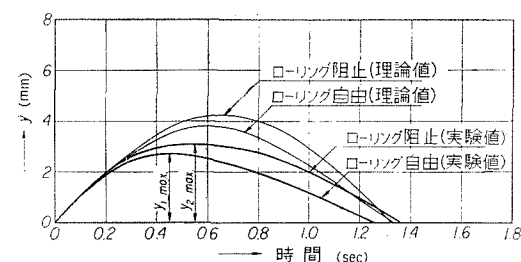
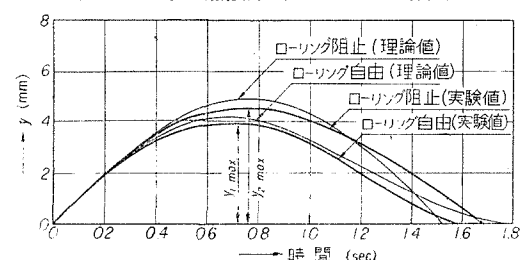
ローリングの影響を実験的にも明らかにするためには、同一の船舶についてローリング拘束の状態での接岸と、ローリング自由の状態でのそれの2種類の実験を行ない比較することが必要である。ローリング拘束の状態で接岸させるためには、図-7のように、船舶から横に出るバーに滑車をとりつけ、その滑車を平面台上に拘束して滑らせせる。

図-7 ローリングの拘束



## 8. 実験結果

図-8~15 は実験結果の中の代表的と思われるものの数例を示したものである。これらの諸ケースについての要項は表-5 のようである。図-8~15 の中の細線は比較のために示された理論値(本報理論)である。

図-8 中央点接岸の場合 ( $\lambda=0.48$  の場合)図-9 離心接岸 ( $\lambda=0.480$  の場合)図-10 中央点接岸 ( $\lambda=0.604$  の場合)図-11 離心接岸 ( $\lambda=0.604$  の場合)図-12 中央点接岸 ( $\lambda=0.690$  の場合)

これらの諸図をみると、実験値の方が理論値よりもいずれもやや小さ目に出ていることが認められる。この原因として考えられる主なものは水の抵抗であって、本報理論にはとり入れなかつた水の抵抗が船舶の運動に作用して接岸中の衝撃をそれだけ減ぜしめるからと考えられる。この傾向は離心接岸のとき

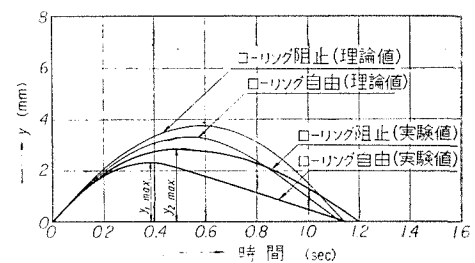
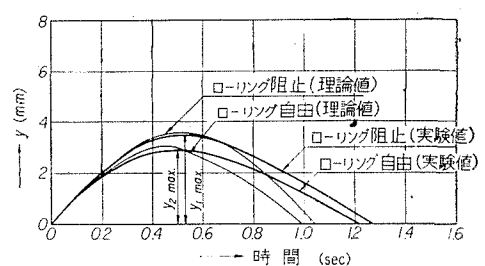
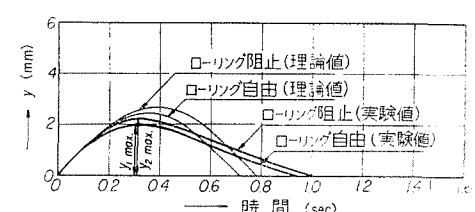
図-13 離心接岸 ( $\lambda=0.690$  の場合)図-14 中央点接岸 ( $\lambda=1.010$  の場合)図-15 離心接岸 ( $\lambda=1.010$  の場合)

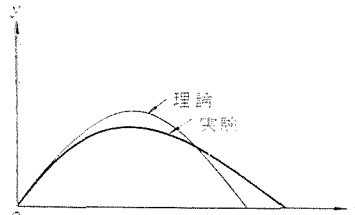
表-5 図-8~15 の実験ケースの要項

番号	$\lambda = \frac{\omega_y}{\omega_\varphi}$	$h$ $r$	船舶の接岸点 接岸点	ローリング拘束の有無 $a/R$	備考 $v_0$ (cm/sec)	$c$ (kg/cm)	実験結果	
①	0.480	0.56	中央点	0	両方	1.10	4.286	図-8
②	0.480	0.51	左 1/4 点	0.87	両方	1.10	4.286	図-9
③	0.604	0.51	中央点	0	両方	1.02	6.186	図-10
④	0.604	0.51	左 1/4 点	0.87	両方	1.02	6.186	図-11
⑤	0.690	0.51	中央点	0	両方	1.03	8.580	図-12
⑥	0.690	0.51	左 1/4 点	0.87	両方	1.03	8.580	図-13
⑦	1.010	0.51	中央点	0	両方	1.08	12.900	図-14
⑧	1.010	0.51	左 1/4 点	0.87	両方	1.08	12.900	図-15

にさらに顕著である。

また、これらの図において、理論値においては  $y_{\max}$  を中心にして時間的に  $y$  の曲線形が左右対称(図-16)

図-16



であるのに、実験結果においてはやや左右非対称となり、 $y_{\max}$  をすぎてからの曲線形が尾をひく傾向にあることが認められる。

この原因のおもなるものもまた水の抵抗であって、船舶の沖側へのもどり時の水の抵抗によるものと考えられる。

## 9. 結論

接岸時の船舶の衝撃力については、従来不明の点が多くいたので、この問題につき新しく一般理論を立て、また、それを実験により確かめた。本研究全体を通じての総合的結論を記すとつぎのようになる。

1) 接岸時衝撃力の最大値は(22)で表わされる。すなわち、

$$F_{\max} = \sqrt{\mu} \cdot \sqrt{M_y/M_0} \cdot \sqrt{cM_0} \cdot v_0$$

接岸方式による衝撃力減少係数(平面回転とローリングの影響の項)	仮想質量の項	船舶の接岸重量と速度 繫船施設のパネ常数による項
---------------------------------	--------	-----------------------------

$\mu$  の値は一般図表(図-2~5等)に示されるようである。 $M_y/M_0$  の値は従来の研究によれば 1.9~2.2 の程度とされているから、 $F_{\max}$  が  $\sqrt{cM_0} \cdot v_0$  より小さくなるのは  $\mu < \frac{1}{1.9} \sim \frac{1}{2.2}$  の範囲の場合に限る。

2) 前項に示されたように、接岸時の衝撃力に対する  $\mu$  の影響は仮想質量の影響により相殺されると考えねばならぬ場合が多いから、船舶の平面回転やローリングの影響を考慮しても衝撃力を仮想質量なしの船舶の重心接岸時衝撃値 ( $= \sqrt{cM_0} \cdot v_0$ ) より小さく評価することは一般には困難である。

3) 前項のような意味においていえば、接岸時船舶の衝撃力に最も影響をもつものは船舶の仮想質量であり、つぎに船舶の接岸箇所(すなわち平面回転)、第3番目のものとして接岸点の高さ(すなわちローリング)、ということになる。

4) 実験室で行なった実験の結果は理論と一般にかなりの一一致の傾向を示している。しかし、衝撃力については、実験値の方が常に多少小さ目になっており、これは理論にはとり入れることのできなかった水の抵抗が船舶の運動に作用して接岸中の衝撃をそれだけ減ぜしめたからと考えられる。したがって水の抵抗は本報理論に対して安全側の誤差を与えるものと考えることができる。

付記 本研究の遂行に当っては、終始、当時中央大学学生であった成行惇、土屋一両君の熱心な協力を得た。両君に深く感謝する。

## 参考文献

- 1) 林 泰造: 接岸時の船舶の衝撃力、海岸工学講演会講演集、昭和35年11月、pp. 101~109.
- 2) 元良誠三: 船体運動学、共立出版、昭和32年。